Condición climática mes anterior: febrero 2023

✓ Sistemas sinópticos meteorológicos predominantes en febrero (Fig. 1.):

1) Los vientos en altura (10 km) predominaron vientos del occidente, en algunos días se presentaron vientos del suroriente con una velocidad promedio entre 28 a 54 km/h, estos vientos favorecieron el tiempo seco en febrero.
2) La MJO predominó en la fase que inhibe las precipitaciones durante gran parte del mes, salvo en la semana entre el 14 y 20 de febrero cuando esta onda apoyó los procesos convectivos (formación de lluvia).
3) Los vientos a 1,5 km y a 3. 0 km de altura se presentaron del oriente y nororiente durante gran parte del mes.
4) La zona de confluencia intertropical (ZCIT) se ubicó entre 2° latitud norte y 2° latitud sur, factor que permitió condiciones de tiempo seco en febrero.

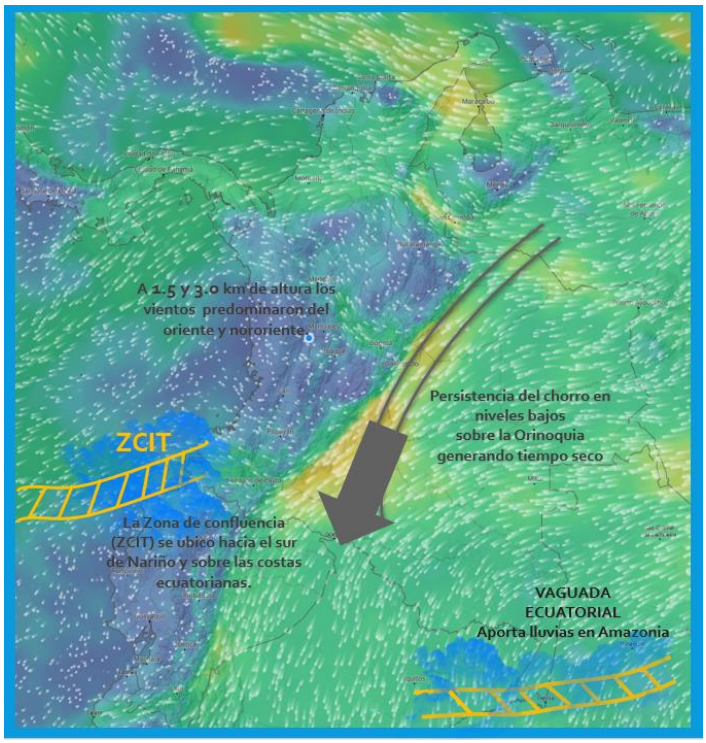

Figura 1. Configuración de sistema sinópticos meteorológicos que predominaron en febrero de 2023.

Distribución temporal de la precipitación en febrero

Las condiciones atmosféricas arriba mencionadas permitieron cielos seminublados con bajos volúmenes de lluvia en gran parte del mes, salvo en la semana entre el 15 y el 22 de febrero, cuando se registraron mayores aportes de precipitación asociadas al cambio de fase de la MJO.

Tabla 1. Distribución de la precipitación diaria en febrero

Mes de	1	2	3	4	5	6	7	8	9	10	11	12	13	14	15	16	17	18	19	20	21	22	23	24	25	26	27	28
Total Bovia VRC	27.3	29.3	70.9	30.6	18.5	21.7	8.2	34.1	104.9	38.8	212.5	4.9	23.3	5.8	117.8	273.2	19.0	208.8	214.4	231.0	374.5	61.1	0.4	39.7	28.9	8.3	0.0	43.4

Comportamiento de las variables meteorológicas en febrero

✓ Precipitación

De acuerdo con la climatología, en febrero se presentan registros entre 50 mm y hasta 160 mm en las zonas Centro Oriente, Centro Sur y Sur. Durante febrero del presente año se presentó una reducción significativa de las precipitaciones en gran parte de la región, no obstante, se reportaron volúmenes importantes en las estaciones de Buga, Yotoco, Guacarí y Arroyohondo (Jamundí) que reflejados en la anomalía resultan con excesos de precipitación durante el mes. Ver Tabla 2.

Los mapas de la figura 2 representan el acumulado de lluvias y su respectiva anomalía. Como se indica en el mapa de anomalías (derecha) se presentaron lluvias por encima de lo normal, que se muestran en colores azules, en Buga, Yotoco, Guacarí y Jamundí. En contraste, en las estaciones de Viterbo, Cartago, Distrito RUT, La Seca, Zarzal, Rozo, Meléndez, El Tiple y Florida se presentaron lluvias por debajo de lo normal representados con índices bajos y muy bajos. Las demás estaciones presentaron lluvias con índices bajos y normales.

Tabla 2. Estaciones que registraron altos volúmenes de precipitación en milímetros en febrero.

Zona	Estación	Lluvia Acum.feb	Clima histór.feb	% de lluvia feb	# días lluvia feb	Clima No. Días feb
Sur	Guachinte, Jamundí	137.0	155.0	87	15	11
Sur	Santander de Quilichao	132.0	147.2	89	10	10
Centro - Norte	Buga	124.9	76.2	163	11	8
Sur	Jamundí	103.3	121.9	84	9	9
Sin clima	Paila Arriba, Sevilla	100.2	*Sin clima*	*Sin clima*	*7*	*Sin Clima*
Valle río Risara	La Virginia, Balboa	99.2	124.5	79	10	10
Sur	Bocas del Palo, Jamund	99.0	115.6	85	7	9
Centro	Guacarí	98.9	61.4	160	10	7
Centro	Arrohohondo, Yumbo	83.0	60.5	137	8	6
Centro - Norte	Yotoco	77.9	60.2	129	8	7
Centro - Sur	Cenicaña, Florida	75.2	80.8	93	6	7
Sur	El Naranjo, Guachene	75.1	120.2	62	9	10
Sur	Miranda	74.0	112.8	65	8	8
Centro	Palmira San José	73.1	88.6	82	7	8
Centro - Sur	PTAR-Cali	67.9	58.7	115	5	6
Sin clima	Florida	67.1	*Sin clima*	*Sin clima*	6	*Sin Clima*
Centro	Palmira La Rita	60.8	72.9	83	9	7
Centro - Sur	Pradera	57.3	87.6	65	8	8
Centro - Norte	Riofrio	55.6	73.3	75	9	6
Sur	Ortigal,Miranda	51.6	91.6	56	10	7
Centro	Amaime	50.4	78.7	64	7	8
Centro - Norte	Tuluá	49.4	79.0	62	9	8
Centro	Aeropuerto, Palmira	47.9	53.5	89	4	5
Valle río Risara	Viterbo, San José	47.5	136.7	34	9	11
Centro - Norte	La Paila, Zarzal	41.5	60.3	68	7	7
Centro	San Marcos, Palmira	40.6	48.8	83	8	6
Norte	Cartago	39.5	79.7	49	10	8
Centro - Sur	Candelaria	38.3	73.5	52	7	6
Centro	Ginebra	35.6	66.8	53	7	7
Centro - Norte	Bugalagrande	35.4	68.7	51	6	6
Norte	Zarzal	23.5	57.5	40	3	7
Norte	Distrito RUT, Obando	22.0	68.8	31	4	7
Centro	Rozo, Palmira	20.4	46.3	44	6	5
Centro - Sur	Melendez, Cali	16.4	98.7	16	7	8
Sin clima	La Seca, Roldanillo	14.2	*Sin clima*	*Sin clima*	3	*Sin Clima*
Centro - Sur	El Tiple, Candelaria	13.9	89.8	15	4	8

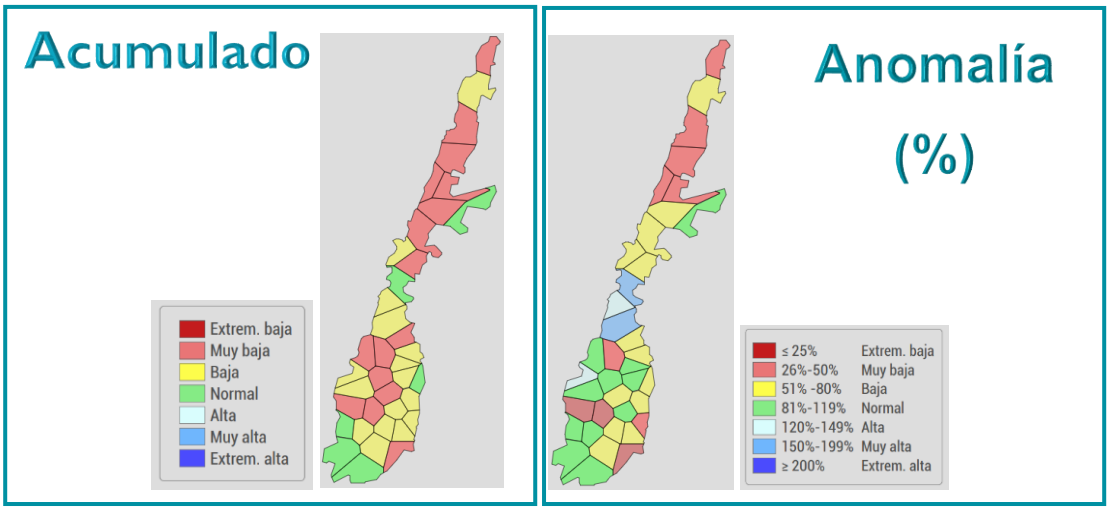

Figura 2. Precipitación acumulada en el mes de febrero (izquierda) y su respectiva anomalia (derecha).

Número de días con lluvias en el valle del río Cauca

De acuerdo con los datos históricos ocurren entre 5 y 11 dias de lluvia durante un mes de febrero. En las estaciones de la zona Norte y de Guachinte se presentaron entre 1 y 4 días más de lluvia respecto a la climatología; en otros casos hubo menos días de precipitación en las estaciones de Centro Oriente. Ver figura 3.

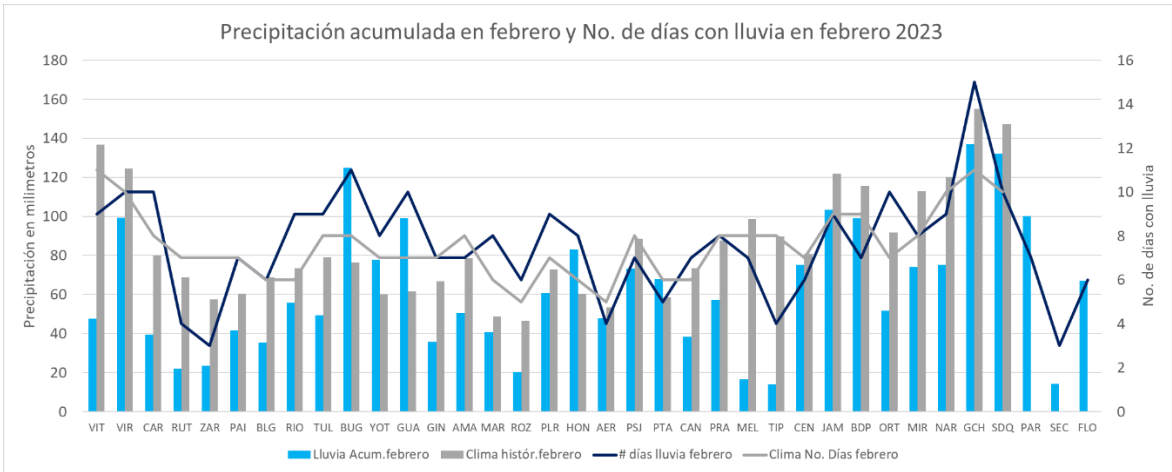

Figura 3. Valores de lluvia acumulada en enero y número de días de lluvia según la red meteorológica de Cenicaña. https://www.cenicana.org/apps/meteoportal/public/diarios

Precipitación máxima en 24 horas en el mes de febrero

Durante el mes de febrero en las estaciones de la RMA no se superó el valor histórico de precipitación máxima en 24 horas. Ver Figura 4.

NOTA: A partir del mes de febrero salió de la red RMA la estación de Corinto, recomendamos por lo tanto no tener en cuenta los datos de los meses de enero y febrero ya que los registron no son confiables.

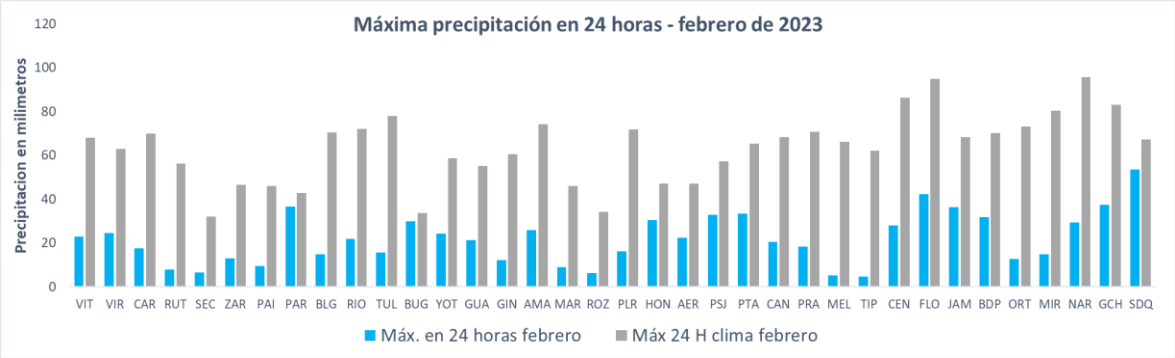

Figura 4. Máxima precipitación en milimetros en 24 horas en febrero de 2023

Temperatura del aire

En febrero la temperatura media máxima del aire presentó un incremento oscilando entre 30.4 °C y 32.1 °C. Respecto al valor absoluto de la temperatura máxima, se alcanzaron registros 32.7 °C y 35.7 °C, esta última se presentó en la estación de Distrito RUT, ver figura 5. Los mapas de la figura 6, indican que la temperatura mínima presentó anomalías bajas y en algunas zonas se comportó de manera normal. En las estaciones de Meléndez y Miranda se alcanzó un índice alto en la anomalía de la temperatura máxima, es decir lo registrado en febrero superó la climatología.

Radiación Solar

En febrero, la radiación solar promedio osciló entre 383.0 cal/cm²/día y 503.2 cal/cm²/día. Respecto a los datos diarios mostrados en la Tabla 3 los valores más altos de radiación solar se presentaron en la última semana. En lo que respecta a la distribución espacial en el mapa de la derecha de la figura 6 se refleja un comportamiento normal en las zonas del valle del río Risarada, Norte 2a y 2b. Mientras que en las zonas Centro Oriente, Centro Sur, Sur y Guachinte se muestran índices altos en la radiación. Figura 6 (derecha). La caída de la radiación solar y de la temperatura máxima sucedió el día 22, cuando se presentó mayor nubosidad e intervalos de lloviznas. Figura 5.

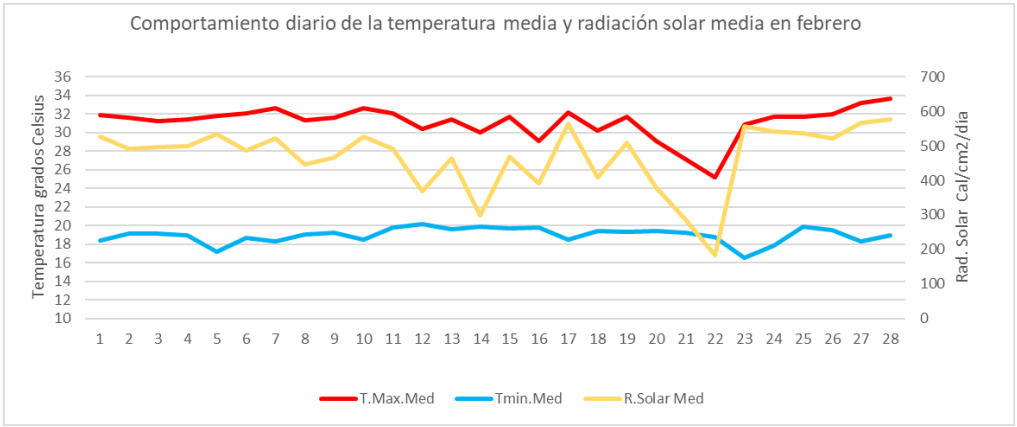

Figura 5. Comportamiento diario de la temperatura del aire y de la radiación solar

En la Tabla 3 se observa que se presentó un aumento de la temperatura máxima

Tabla 3. Distribución de la temperatura mínima y máxima y de la radiación solar diaria durante febrero.

Dias/Febrero	1	2	3	4	5	6	7	8	9	10	11	12	13	14	15	16	17	18	19	20	21	22	23	24	25	26	27	28
T.Max.Med	32	32	31	31	32	32	33	31	32	33	32	30	31	30	32	29	32	30	32	29	27	25	31	32	32	32	33	34
Tmin.Med	18	19	19	19	17	19	18	19	19	19	20	20	20	20	20	20	19	19	19	19	19	19	17	18	20	20	18	19
R.Solar Med	527	491	498	498	534	488	521	447	468	527	493	370	465	299	470	390	563	408	509	380	285	182	558	541	536	523	566	577

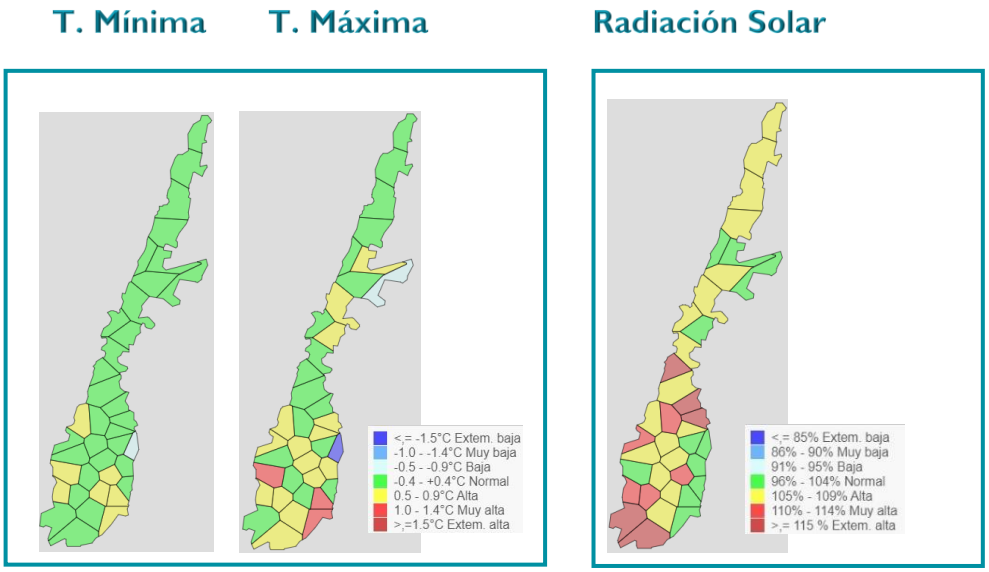

Anomalía temperatura media mínima y media máxima

Anomalía Radiación Solar (derecha)

Figura 6. Anomalía de la temperatura máxima media, mínima media y radiación solar.

Condiciones en el océano Pacifico Tropical: LA NIÑA

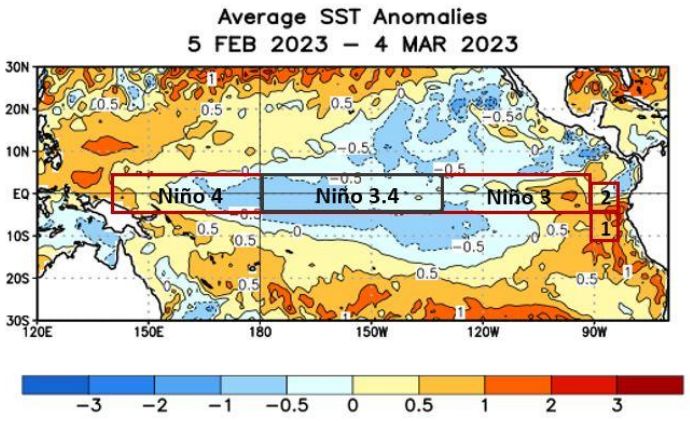

El fenómeno La Niña continua activo, sin embargo, se han venido presentando cambios en los indicadores oceánicos. En el Océano Pacífico siguen debilitándose las anomalías negativas en la temperatura superficial (anomalías entre -0.0 °C y -0.4 °C en la última semana), lo que traduce un incremento en la temperatura superficial del mar ver figura 6a; de igual forma ha sucedido en la capa subsuperficial (0-300 metros) en el área oriental del Océano Pacífico, ya que ha aumentado allí la temperatura de las aguas. En la atmosfera, los indicadores de un evento "La Niña" continúan mostrando un acople: en el oeste del Océano Pacífico (cerca de la Línea de Cambio de Fecha) persiste la escasa nubosidad, el Índice de Oscilación del Sur, con valores positivos asociados a "La Niña" continúan en descenso en el último mes (+11.6) (IOS)[1]. En niveles bajos (1.5 km), los vientos del este se vieron concentrados hacia el oeste y centro del Pacifico con anomalías poco debilitadas; las anomalías del oeste de los vientos en altura (10 km) persistieron en el centro y oeste del Pacífico acorde a un episodio La Niña. Figura 6a y 6b.

[1] El Índice de Oscilación del Sur (IOS), indica desarrollo y la intensidad de los eventos de El Niño o La Niña en el Océano Pacífico. Este índice atmosférico IOS se calcula utilizando las diferencias de presión entre Tahití y Darwin.

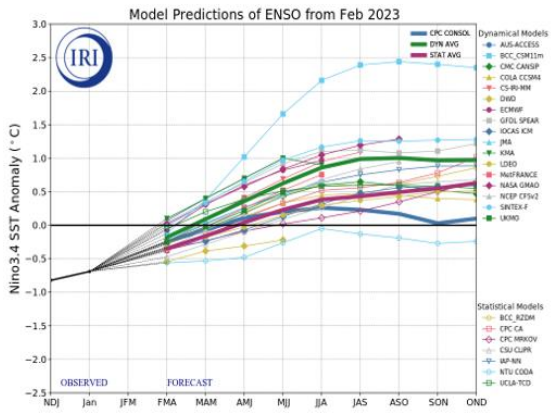

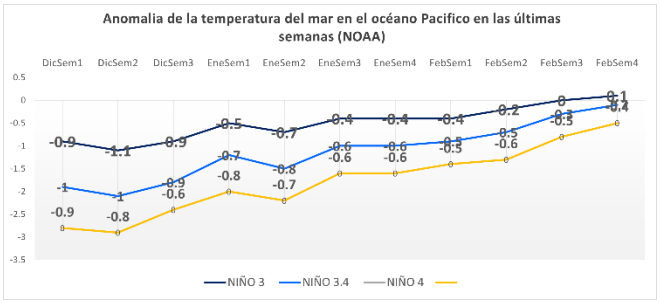

Figura 6a. Promedio de las anomalias de la temperatura superficial del mar en el océano Pacifico tropical en el último mes. Fuente: Climate Prediction Center / NCEP. Figura 6b. Comportamiento de la TSM en las últimas semanas.

Una fase de transición entre marzo y mayo de 2023, con una probabilidad del 94% es la predicción propuesta por los centros internacionales. Así las proyecciones de clima indican que se presentarán anomalías cercanas a la neutralidad (0.0 °C y -0.2 °C) en la condición de la temperatura superficial del mar, SST, por sus siglas en inglés, para el mencionado trimestre marzo-abril-mayo. Para el segundo trimestre se sigue pronosticando incremento paulatino en la temperatura superficial del Océano Pacífico, lo cual conlleva a la reducción de las precipitaciones en el valle del río Cauca.

Figura 6c. Proyección de anomalia de la temperatura del mar en la zona Niño 3.4 del océano Pacifico para los siguientes meses. Fuente: Climate Prediction Center / NCEP – IRI/CPC

¿Qué se proyecta para marzo-abril-mayo de 2023?

- ✓ De acuerdo con los datos históricos se presentan lluvias entre 80 mm y 210 mm, con volúmenes más altos en el valle del río Risaralda, en zonas cercanas a la cordillera central y en el sur del valle. Para marzo se prevé un incremento de las precipitaciones en la primera quincena del mes especialmente en el valle del río Risaralda, Norte 2b, Centro Oriente (cerca del piedemonte), Centro Sur, Sur y Guachinte con excesos entre un 10%y 20%. En las dos últimas semanas se espera una reducción en los volúmenes de precipitación debido al ingreso de la MJO en su fase que inhibe las lluvias. Figura 7, izquierda.

  En abril históricamente se presentan registros entre 115 mm y 234 mm, concentrándose los mayores volúmenes en el valle del río Risaralda, zonas Sur y Centro Sur. La predicción climática en abril proyecta precipitaciones con registros muy cercanos a la climatología y, en algunos casos, con excesos entre un 10% y un 20% particularmente extremo norte y sur del valle del río Cauca. En áreas de Centro Occidente podrían presentarse lluvias por debajo de lo normal. Figura 7, centro.

  De acuerdo con la climatología se registran entre 100 mm y 240 mm en mayo, siendo los más altos volúmenes precipitados en el valle del río Risaralda, zonas Sur y Centro Sur. Según la predicción mayo transcurrirá con lluvias cercanas a lo normal, con algunos excesos en el valle del río Risaralda. Figura 7, derecha.

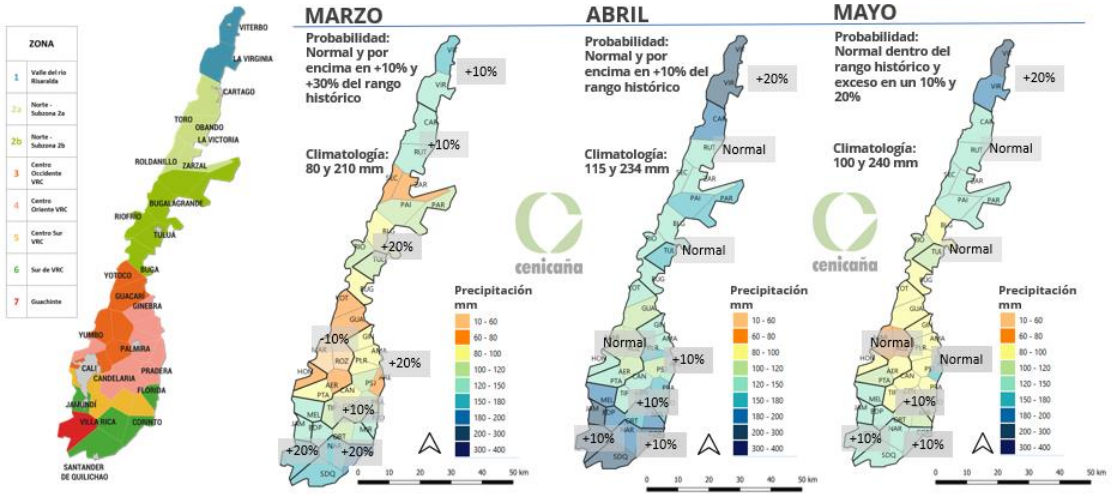

Figura 7. Probabilidad de ocurrencia de precipitaciones para el siguiente trimestre

Proyección semestral de las precipitaciones

Teniendo en cuenta que el Océano Pacifico está dando señales de debilitamiento del fenómeno La Niña y que está transitando a una condición de neutralidad hacia los meses de abril y mayo, se esperan lluvias muy cercanas a la normal climatológica, mientras que en el siguiente trimestre se puede presentar disminución en las precipitaciones.

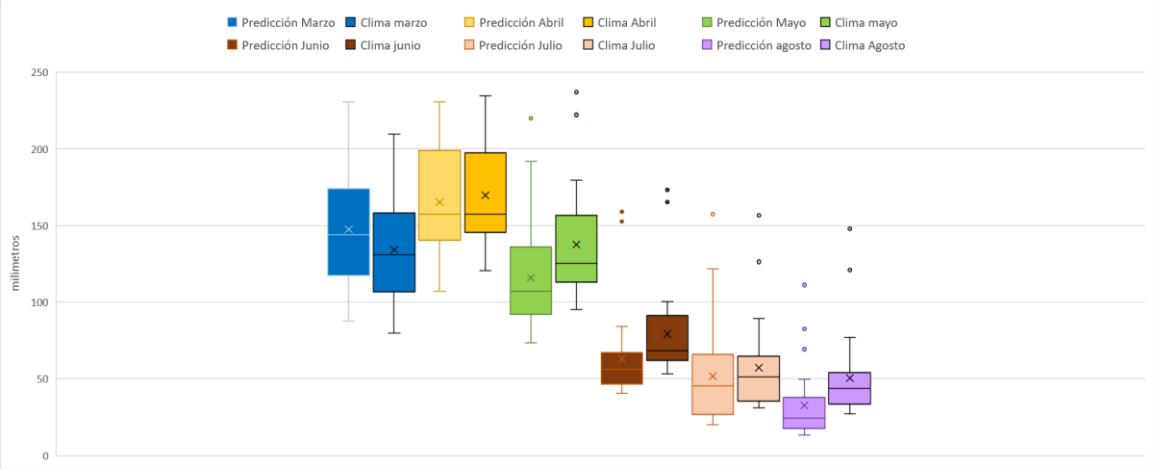

Figura 8. Proyección semestral de las precipitaciones en el valle del río Cauca.

¿Y cuál es el panorama de lluvias en el corto plazo?

✓ Entre los sistemas atmosféricos más representativos e incidentes sobre el clima en la región andina y el valle del Cauca se encuentra el cambio en la fase de la onda intraestacional MJO (que apoya o inhibe la formación de lluvias), el patrón de vientos a 10 km con un flujo del suroriente y ocasionalmente del occidente, así como la ubicación de la Zona de Confluencia Intertropical sobre el océano y las zonas costeras de Nariño y de Ecuador.

En marzo el pronóstico a corto plazo estima un incremento de las precipitaciones en las dos primeras semanas asociada a una fase que apoya las lluvias de la onda MJO. Para la tercera y cuarta semana se prevé una reducción de las lluvias predominando días con lluvias ligeras y/o chubascos con intervalos de sol. Para la primera semana de abril se esperan bajos volúmenes de precipitación y en una segunda semana pueden incrementarse las lluvias nuevamente.

Para mayor información sobre el pronóstico del estado del tiempo diario y semanal ingrese aquí: www.cenicana.org

Umbrales de precipitación a 1, 3,6, 12 y 24 horas en el VRC

En la siguiente tabla se aprecia los umbrales de precipitación de acumulados en 1, 3, 6,12, 18 y 24 horas durante un episodio La Niña. Los datos fueron obtenidos de una serie de los últimos 29 años. Estos valores permiten identificar los acumulados de precipitación que se puede esperar para los meses marzo y abril.

Tabla 3. Umbrales de precipitación de acumulados en 1, 3, 6,12, 18 y 24 horas en las estaciones del valle del río Cauca.

Umbrales precipitación en condición La Niña marzo						
Estación	1h	3h	6h	12h	18h	24h
Aeropuerto	7	21	25.7	25.9	26.1	26.1
Amaime	13.9	33.5	47.3	47.3	47.6	56.9
Arroyohondo	9.6	21	21.2	24.7	25.9	33.6
Bocas De Palo	6.5	18.8	32.1	37.9	42.2	42.2
Buga	9.1	20.8	28.3	28.3	28.3	28.3
Bugalagrande	11.7	29.5	41.1	41.6	41.6	43
Candelaria	11.8	33.3	39.7	42.3	42.3	42.3
Cartago	11	27.2	33.5	33.6	33.6	33.6
Cenicana	12.7	32.9	45.4	45.6	49.1	49.5
Corinto	14.7	40.5	50.5	50.9	51.3	52.6
Distrito Rut	12.2	23.4	30.4	31.4	31.4	31.4
El Naranjo	11	28.9	45.1	60.7	60.7	60.7
El Tiple	14.5	28.6	42.9	49.4	49.9	60.1
Ginebra	13.7	36.2	42.5	42.7	42.7	42.7
Guacari	10.4	31.2	46.8	54.5	55.3	56
Guachinte	11.8	29.5	38.3	48.6	49	49.1
Jamundi	12.1	23	34.2	34.9	43.3	45.9
La Paila	13	30.2	31.5	33.7	37.8	44.1
La Virginia	9.7	25.3	35.9	44.1	47.3	47.3
Melendez	12.2	29.2	30.8	36	43	55.1
Miranda	11.8	30	35.6	54.4	58	58
Ortigal	11.7	29.8	49.7	55.2	55.7	58.3
Palmira La Rita	10.9	30.6	38.3	39.3	39.3	39.3
Palmira San Jose	8.5	22.9	34.1	37.4	44.8	44.8
Pradera	13	25.8	34	42.1	42.3	42.3
Ptar Cali	8.9	19.9	25.7	27.9	31.3	32.7
Riofrio	9	24.9	33.3	37.3	39.8	44.7
Rozo	7.9	22.5	30	30.1	31.5	31.5
San Marcos	8.2	18.3	31.1	31.9	32	33.5
Santander De Quilichao	13	39	55.6	55.6	66.6	66.6
Tulua	10.7	28.5	33.7	36.1	36.1	36.5
Valle del rio Cauca	4.7	12.1	19.8	22.2	23.2	23.8
Viterbo	12	33.6	40.1	58.1	58.5	58.5
Yotoco	13.7	41.1	47.8	51.4	51.9	63.5
Zarzal	7.5	21.6	35.8	37.2	37.2	37.2

Umbrales precipitación en condición La Niña abril						
Estación	1h	3h	6h	12h	18h	24h
Aeropuerto	9.2	27.6	28.7	38.6	40.1	40.1
Amaime	11.3	22.7	29.7	31.6	32.4	34.8
Arroyohondo	9.4	24	30.8	46.4	57	57.2
Bocas De Palo	10.4	22.8	31.6	32.9	35.7	45.3
Buga	8.5	24	30.3	30.4	30.5	30.5
Bugalagrande	11.9	33.1	47.1	56.8	56.9	65.1
Candelaria	13.3	31.7	39	41.4	41.5	41.5
Cartago	9.5	19	26.5	36.5	37.1	37.3
Cenicana	14.6	35.1	42.4	44.6	52.7	52.8
Corinto	14.3	42.9	43.8	44.2	44.4	54.7
Distrito Rut	8.3	17	21	34.4	37	37
El Naranjo	11.4	29.1	44	49.2	49.3	53
El Tiple	11.9	24.7	34.8	38.4	48.1	48.1
Ginebra	11	23.9	29.8	32	32	32
Guacari	11.7	25.3	29.5	30	30	31.2
Guachinte	10.9	25.5	42	58.3	58.3	58.4
Jamundi	13.6	31	37	48.8	50.4	50.4
La Paila	8.5	22.3	29.2	30.3	36.9	43.8
La Virginia	9.8	29.4	36.1	40.4	40.6	53
Melendez	14.1	42.3	43.9	44.1	56.8	57.6
Miranda	14.4	35.8	51	51.5	51.5	51.5
Ortigal	18.9	50.6	59.4	63.9	66.8	68.9
Palmira La Rita	11.1	32.7	40.6	43.3	45.2	45.2
Palmira San Jose	12.9	26	29.4	30.9	30.9	45.1
Pradera	14.8	35.7	43.1	51.5	52.6	52.7
Ptar Cali	9.6	21.7	27.9	39.4	39.4	39.4
Riofrio	10.4	31.2	42.5	44.4	56.1	56.2
Rozo	6.1	16.3	17.5	19.5	20	23.6
San Marcos	13.7	35	39	42.4	44.5	44.5
Santander De Quilichao	11.5	28.2	37.4	40.1	41	51.3
Tulua	12.3	29.8	32.7	36.9	37.9	43.3
Valle del rio Cauca	4.5	12.2	19	25.1	26.6	30.3
Viterbo	10.8	30.4	41.6	48.3	59.8	71.3
Yotoco	8.3	21.5	23.5	33.7	33.7	33.7
Zarzal	9.8	24.1	29.8	30.8	30.8	30.8

Escenarios de probabilidad de ocurrencia para la precipitación en 4 trimestres del año en el VRC

A continuación, se indican las tablas de contingencia aplicadas a la probabilidad de que se presenten lluvias por encima, por debajo o cercano a lo normal para un evento "Niño", "Niña" y "Neutro", teniendo en cuenta el índice ONI para una serie entre 1996-2022. En la estación La Virginia, por ejemplo, ante un escenario La Niña para el trimestre Mar-Abr-May, la mayor probabilidad corresponde a una condición dentro de lo normal que se visualiza con la barra en color verde en el primer gráfico a la izquierda.

Estación La Virginia: Para el trimestre Mar-Abr-May mayor probabilidad de ocurrencia de lluvias dentro de lo normal ante un escenario del fenómeno La Niña.

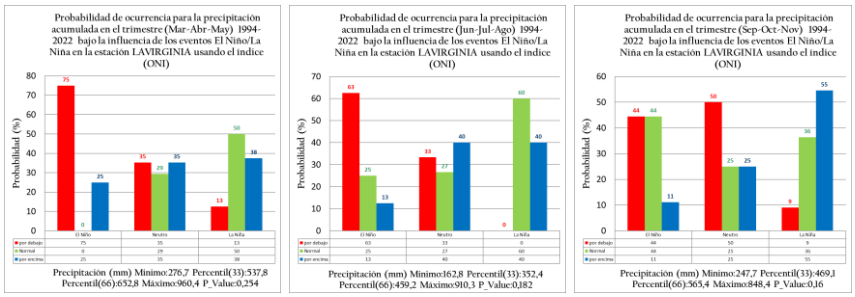

Estación Zarzal: Para el trimestre Mar-Abr-May mayor probabilidad de ocurrencia de lluvias dentro de lo normal y/o por encima de lo normal ante un escenario del fenómeno La Niña.

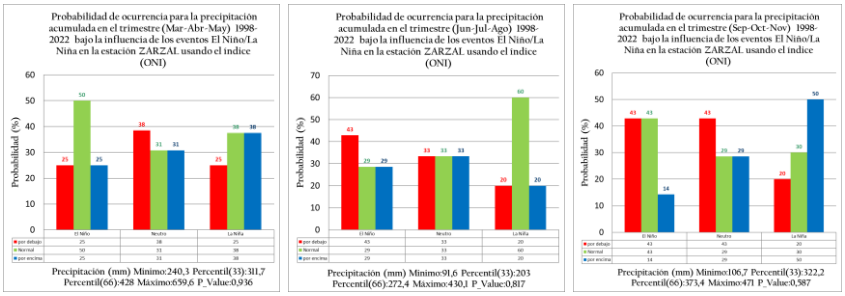

Estación Cenicaña: Para el trimestre Mar-Abr-May mayor probabilidad de ocurrencia de lluvias dentro de lo normal ante un escenario del fenómeno La Niña.

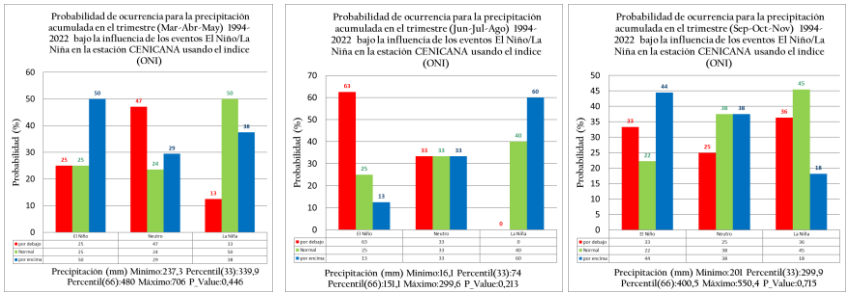

Estación Ortigal: Para el trimestre Mar-Abr-May mayor probabilidad de ocurrencia de lluvias por encima de lo normal ante un escenario del fenómeno La Niña; resaltando que según el calendario pluviométrico la primera temporada de lluvias va entre febrero y mayo.

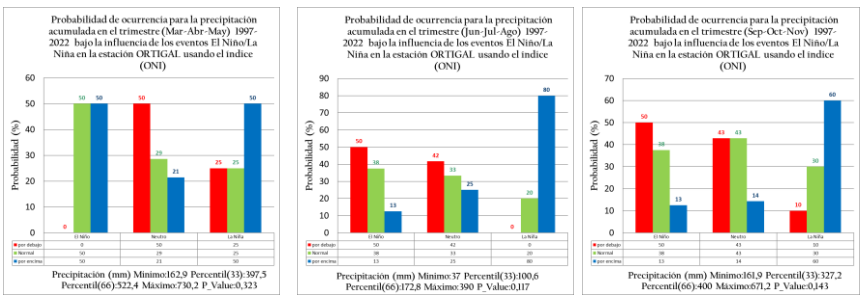

Calendario pluviométrico anual para estaciones ubicadas en el norte, centro y sur del valle del río Cauca

Las zonas del norte y centro del VRC se encuentran en periodo de transición de menos a más lluvias, la zona de Centro Oriente entra la primera semana de marzo a la primera temporada de lluvias y las zonas del sur ya están en temporada de lluvias de acuerdo con el calendario pluviométrico.

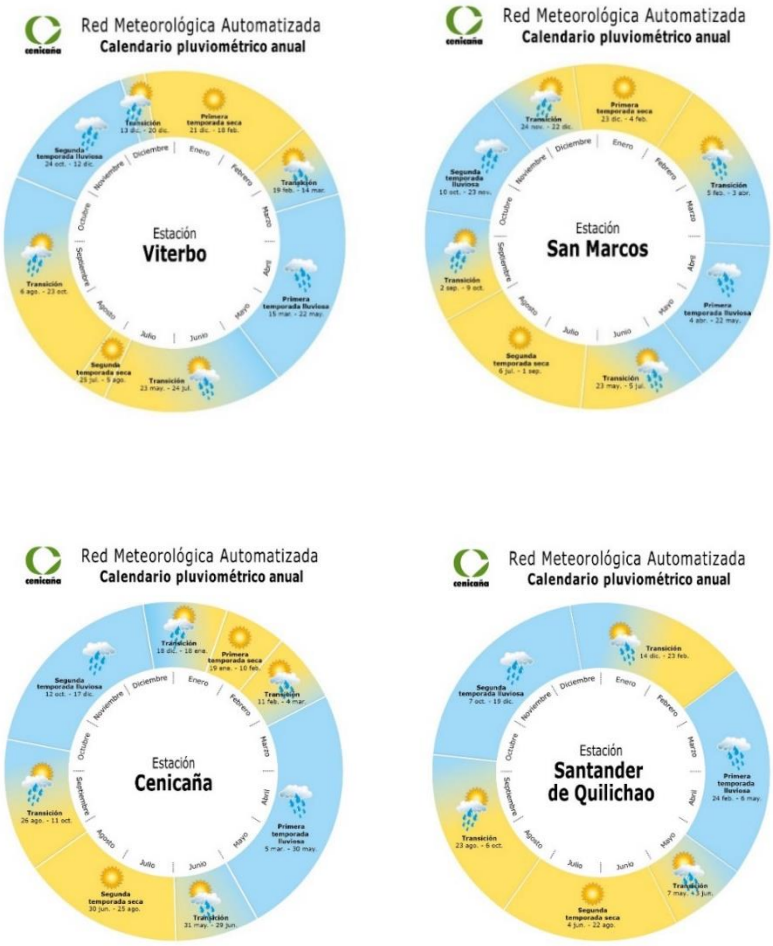

Fuente: Cenicaña

Recomendaciones agronómicas: Periodo de transición de menos a más lluvias

Resiembra

Si requiere de resiembra, coordínela con la programación del riego o después de una lluvia. Como distancia mínima de resiembra, considere longitudes mayores o iguales a 1.5m y como época de resiembra antes de los 60 días después de la siembra o del corte. Evite llevar a cabo esta práctica en suelos saturados, pues puede llegar a generar la pudrición de la semilla si esta se deja muy profunda. Para esto es necesario ubicar la semilla de manera superficial pero bien tapada.

Fertilización

En cultivos con edades menores a los cuatro meses, programar la fertilización de acuerdo con los resultados del análisis de suelo, la curva de absorción de nutrientes para la variedad, potencial productivo de la suerte y la proyección climática. Al fertilizar, hágalo con la fuente y la dosis adecuadas, en el momento oportuno y localizando el fertilizante correctamente. Asegure las condiciones de humedad del suelo después de la fertilización para asegurar la máxima absorción.

La eficiencia de la fertilización nitrogenada con urea es baja en zonas con tendencia a la saturación del suelo y, más aún, cuando se prevén aumentos de la precipitación. Por lo tanto, es aconsejable el uso de ureas recubiertas con inhibidores de ureasas, debido a que restringen los procesos de desnitrificación. Por otro lado, durante las últimas dos semanas del mes se pronostica disminución de las lluvias, lo cual constituye una buena alternativa para fertilizar con fuentes nitrogenadas de rápida asimilación como nitratos. La fertilización con urea sin incorporar a menudo genera altas pérdidas por volatización, por lo que se disminuye de manera importante la eficiencia. Durante los periodos de lluvias las hojas de la caña pueden llegar a presentar color amarillo, siendo esto una sintomatología de baja disponibilidad de oxígeno en el suelo. Por lo tanto, la aplicación de fertilizantes para remediar esta situación no tiene un efecto positivo, como si lo tiene el buen drenaje de los campos.

Manejo de plagas

Para el control de plagas tipo barrenador del tallo *(Diatraea spp)* aproveche las ventanas de tiempo seco o considere esperar la llegada del periodo seco para la liberación de enemigos naturales como *Trichogramma exiguum* parasitoide de huevos y los parasitoides de larvas *Cotesia flavipes* y *Lydella minense*.

Para el salivazo, *Aeneolamia varia*, manténganse alerta en estos períodos de transición de ventanas de tiempo seco a periodos lluviosos, colocando trampas vigía (1 cada 20-25 ha) o de monitoreo (2 por ha alrededor del foco) de ser necesario.

Manejo de arvenses

Lleve a cabo la aplicación de herbicidas pre-emergentes con el objetivo de evitar la competencia con el cultivo durante el primer mes de edad. Seleccione el ingrediente activo de acuerdo con la solubilidad, que para esta temporada es aconsejable el uso de herbicidas con solubilidad < 100 ppm (Solubilidad intermedia). Esto garantizará una disponibilidad del ingrediente activo en momentos lluviosos y secos, que son las condiciones del mes de marzo. Haga mezclas de ingredientes activos de acuerdo con el banco de malezas y haga un uso racional para evitar la sobrecarga de ingrediente activo por hectárea. Controle las arvenses cuando tengan entre 2-5 hojas usando herbicidas post-emergentes, evite dejar que las arvenses produzcan semilla, pues esto aumenta el banco de semillas. Además, se recomienda realizar la rotación de mecanismos de acción para evitar la aparición de arvenses con resistencia. Realice las labores de control de arvenses antes de la fertilización, con el objetivo de aumentar la eficiencia. En campos con suelos saturados, la aplicación de herbicidas puede llegar a generar fitotoxicidad en el cultivo. Por lo tanto, priorice la labor de drenaje antes de la aplicación y evite mezclas de tanque con más de dos inhibidores de la enzima ALS.

Maduración y Cosecha

Realice la aplicación de madurantes como una actividad prioritaria para favorecer la acumulación de sacarosa en el campo. Durante esta época lluviosa la planta prioriza la elongación del cogollo y hojas, lo que genera una reducción en la acumulación de sacarosa. Por lo tanto, se debe seleccionar el ingrediente activo de acuerdo con la programación de cosecha, con el objetivo de asegurar el mínimo de semanas de maduración para aumentar el contenido de sacarosa (8-12 semanas para trinexapac-etil y 4-6 semanas para Fluazifop-p-butil). Además, revise la dosificación considerando que se transita por una época volúmenes moderados de precipitación (10 – 12 cc de trinexapac-etil / tonelada de caña aforada al momento de la aplicación). Adicionalmente, es aconsejable el uso de volúmenes de descarga de 10 l/ha para mejorar la dispersión del producto en el campo. Utilice los pronósticos de lluvias de Cenicaña para la programación de la cosecha. Guíe los equipos por los entresurcos usando la tecnología RTK, esta metodología reduce los riesgos de pisoteo de las cepas y atascamiento y además mejora el desempeño de las máquinas en eficiencia de campo y consumo de combustible. Determine los porcentajes de sacarosa en campo y utilícelos para guiar los frentes de cosecha.

Riego

Realice los riegos teniendo en cuenta las tecnologías de balance hídrico priorizado, control administrativo del riego y sensores de potencial mátrico. Para cañas con edades entre los cuatro y ocho meses priorice el riego, si usa sensores de potencial mátrico no olvide que el potencial mátrico donde se debe comenzar el riego (potencial mátrico crítico) corresponde a -30 a -45 kPa para goteo y -75 a -80 kPa para gravedad. Consulte los boletines de pronóstico del tiempo de Cenicaña antes de programar el riego con el fin de ver si existe una alta probabilidad de lluvias.

Invitamos a descargar en sus equipos móviles la APP de Ceniclima, disponible en Google Play y App Store; así puede consultar el pronóstico del tiempo diario y semanal en su zona de interés.

cenicaña
Centro de Investigación de la Caña de Azúcar de Colombia

Dirección postal:
Calle 38 norte No. 3CN-75. Cali, Valle del Cauca, Colombia
Estación experimental:
San Antonio de los Caballeros, vía Cali-Florida km 26
www.cenicana.org

Producción editorial
Cenicaña © 2022
Freddy Fernando Garcés. Director General
Mery Esperanza Fernández. Agrometeoróloga
Mauricio Quevedo. Fisiólogo, Programa de Agronomía
Diseño: Alcira Arias Villegas. SCTT

SERVICIO AGROCLIMÁTICO
Mery Esperanza Fernández.
Agrometeoróloga.
E-mail: mefernandez@cenicana.org
Tel: (57) 602 5246611 Ext.: 5144